

# Grafika Komputerowa

2001 © Piotr M. Szczypinski

- dr inż. Piotr M. Szczypiński
- e-mail: [pms@ck-sg.p.lodz.pl](mailto:pms@ck-sg.p.lodz.pl)
- <http://www.eletel.p.lodz.pl/~pms/>

# Literatura

2001 © Piotr M. Szczypinski

- Piotr Makowski, *Grafika Komputerowa 3D*,  
<http://server.eletel.p.lodz.pl/~makowski/graph.html>
- Hartfiel Hobbs, *Elementary linear algebra*
- John Levine, *Programowanie plików graficznych w C/C++*, Wiley
- Władysław Skarbek, *Metody reprezentacji obrazów cyfrowych*, PLJ
- Charles Petzold, *Programowanie Windows*, RM
- V. Toth, *Programowanie Windows 98/NT - księga eksperta*, Helion
- K. Ruta, *Programowanie w Windows*, Helion
- R.S.Wright, M.Sweet, *OpenGL - księga eksperta*, Helion
- J. Sanchez, M. Canton, *Direct 3D - biblia*, Helion
- Nate Robins, *Tools for teaching about OpenGL*,  
<http://www.xmission.com/~nate/tutors.html>

## Układ treści wykładu

2001 © Piotr M. Szczypinski

- Modele koloru
- Obrazy rastrowe
  - metody uzyskiwania, formaty zapisu, wizualizacja, zastosowania, kompresji obrazów rastrowych
- Obrazy wektorowe
  - metody uzyskiwania, formaty zapisu, wizualizacja, zastosowania
- Metapliki
- Systemy graficzne, graficzny interfejs użytkownika (GUI)
- Programowanie grafiki 2D
  - języki programowania, biblioteki obsługi formatów graficznych
- Obrazy trójwymiarowe - 3D
  - rastrowe: uzyskiwanie, formaty zapisu, wizualizacja, zastosowania
  - wektorowe: modelowanie trójwymiarowe, metody transformowania i rzutowania
- Programowanie grafiki 3D
  - biblioteki OpenGL i Direct3D

## Modele składowych koloru

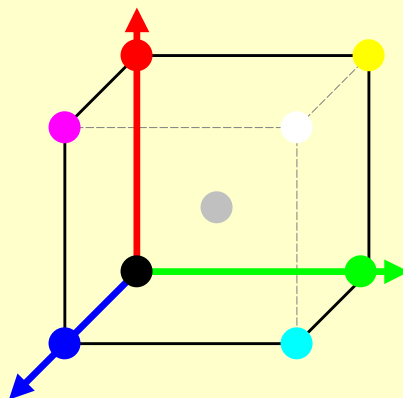
2001 © Piotr M. Szczypinski

- RGB - Red Green Blue
- CMY - Cyan Magenta Yellow
- CMYK - Cyan Magenta Yellow Black
- HSB - Hue Saturation Brightnes  
(HLS - Hue Luminance Saturation)
- $YIQ$ ,  $Y_C C_R$ ,  $Y_D B_R$

## Model RGB

2001 © Piotr M. Szczypinski

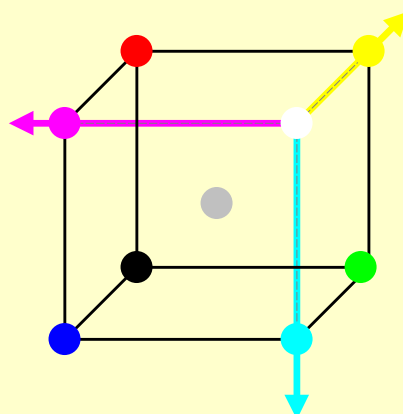
- Model **RGB** jest modelem addytywnym, w którym barwę otrzymuje się przez sumowanie składowych światła o różnej długości fali.
- Składowe to barwy:
  - czerwona (R)
  - zielona (G)
  - niebieska (B)
- Zastosowanie modelu:
  - lampa kineskopowa w telewizji



## Model CMY

2001 © Piotr M. Szczypinski

- Model **CMY** jest modelem subtraktywnym, w którym barwę wynikową otrzymuje się przez odejmowanie od światła białego (wytłumianie) składowych o różnej długości fali.
- Barwy są tłumione:
  - czerwona (R) przez (C)
  - zielona (G) przez (M)
  - niebieska (B) przez (Y)
- Zastosowanie modelu:
  - fotografia barwna



## Model CMYK

2001 © Piotr M. Szczypinski

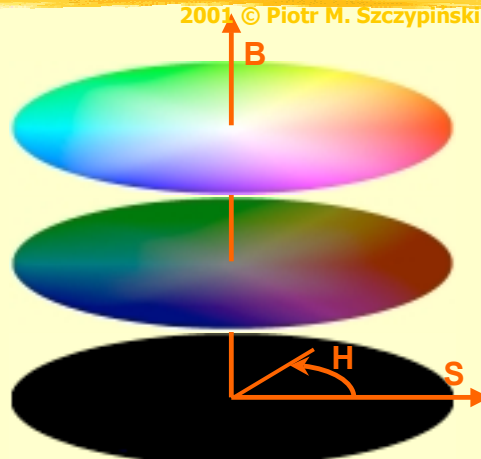
- Model **CMYK** jest modyfikacją modelu CMY związaną z ograniczeniami farb drukarskich. Złożenie wszystkich farb nie zapewnia prawidłowego oddania na papierze czerni, konieczne jest dodanie dodatkowej składowej określającej ile czarnej farby ma być dodane do wydruku.
- Zastosowanie modelu:
  - druk barwne z zastosowaniem farb drukarskich i tuszy



## Model HSB (HLS)

2001 © Piotr M. Szczypinski

- Model **HSB** jest wynikiem prac prowadzonych nad systemem telewizji kolorowej NTSC i PAL. W modelu rozdzielono składową luminancji (B) od składowych chrominancji (HS), gdzie S jest składową nasycenia koloru natomiast H jest składową kątową barwy.
- Zastosowanie modelu:
  - modulacja kwadraturowa chrominancji w systemach telewizji NTSC i PAL



## Inne modele koloru

2001 © Piotr M. Szczypinski

### YIQ (NTSC)

$$Y = 0,299R + 0,587G + 0,114B$$

$$I = 0,596R - 0,274G - 0,322B$$

$$Q = 0,211R - 0,528G + 0,312B$$

### YD<sub>B</sub>D<sub>R</sub> (SECAM)

$$Y = 0,30R + 0,59G + 0,11B$$

$$D_B = 1,5(R - Y)$$

$$D_R = -1,9(B - Y)$$

### Y<sub>C<sub>B</sub></sub>C<sub>R</sub> (CCITT)

$$Y = 0,299R + 0,587G + 0,114B$$

$$C_B = 1,772(R - Y)$$

$$C_R = 1,402(B - Y)$$

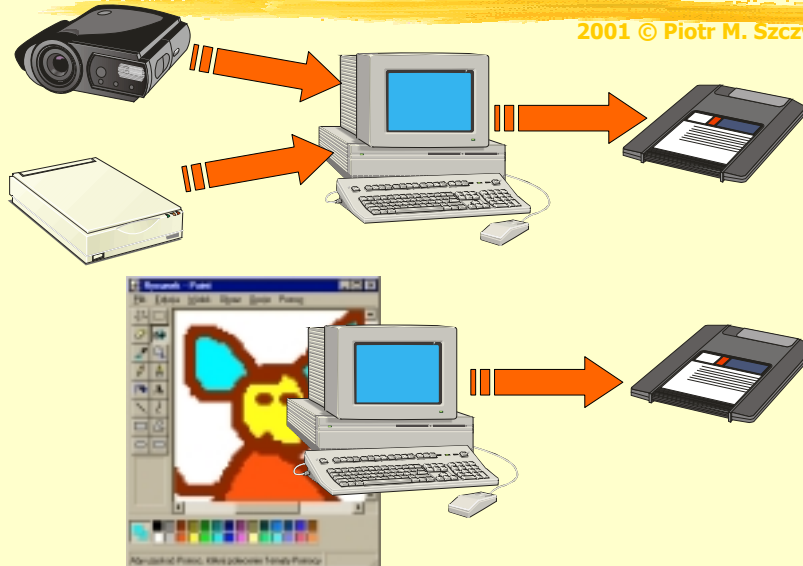
## Definicja obrazu rastrowego

2001 © Piotr M. Szczypinski

- Obrazy rastrowe powstają w wyniku akwizycji obrazów rzeczywistych lub syntezy programowej, w wyniku fizycznych lub symulowanych procesów dyskretyzacji i kwantyzacji.
  - Proces dyskretyzacji wprowadza podział przestrzeni analogowego obrazu na elementarne części zwane pikselami (ang. *pixel – picture element*). Dla każdego piksela jest wyznaczana przez próbkowanie lub przez fizyczne całkowanie jego jasność w pewnym zakresie widma elektromagnetycznego.
  - Proces kwantyzacji obrazu zamienia analogową wartość jasności na jeden z poziomów dyskretnych, dając w wyniku wektor składowych wartości danego piksela (punkt obrazu cyfrowego) określających jego jasność, składowe RGB, itp.

## Metody uzyskiwania obrazu rastrowego

2001 © Piotr M. Szczypiński



## Rodzaje obrazów rastrowych

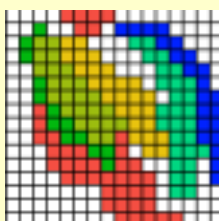
2001 © Piotr M. Szczypiński

- Rodzaje obrazów:
  - binarne/czarno-białe (np. z faxu),
  - o odcieniach szarości / monochromatyczne,
  - kolorowe
  - kolorowe z paletą barw
  - i wiele innych

# Zapis obrazów rastrowych

2001 © Piotr M. Szczypinski

- Najczęściej spotykany sposób zapisu pliku z obrazem rastrowym:



- część informacyjna (zazwyczaj w tzw. nagłówku pliku),
- paleta barw - LUT (opcjonalnie),
- macierz z informacją o kolejnych pikselach

```
42 4D 36 05 00 00 00 00 00 00 00 36 04 00 00 28 00
00 00 10 00 00 00 10 00 00 00 01 00 08 00 00 00
00 00 00 01 00 00 00 00 00 00 00 00 00 00 00 00
00 00 00 00 00 00 00 00 00 00 00 00 80 00 00 80
00 00 00 80 80 00 80 00 00 00 80 00 80 00 80 80
```

```
40 00 40
40 60 00
40 40 80
00 40 40
A0 00 40
40 C0 00
40 40 E0
```

```
FF FF FF FF 4F 4F 4F FF FF FF FF FF FF FF
FF FF 31 FF FF 4F 4F FF FC FC FC FC FF FF FF
FF 30 35 35 37 37 FF FF FF BA BA FC FC FF FF
FF 30 35 35 37 37 37 FF FF BA BA FC FC FF FF
FF FF 35 35 35 37 37 37 FF FF BA BA FC FC FF
FF FF 31 35 35 35 37 37 37 FF BA BA BA FC FF
FF FF 30 35 35 35 35 37 37 37 FF BA BA FC FC
FF FF 4F 30 35 35 35 35 37 37 37 BA BA BA FC FC
FF FF 4F 30 30 35 35 35 35 37 37 BA BA BA FC FC
FF FF 4F 4F 30 30 35 35 4F 37 37 37 BA BA FC FC
FF FF FF 4F 4F 4F 30 30 4F FF 37 37 BA BA BA FC
FF FF FF 4F 4F 4F 4F 30 4F 4F FF BA BA BA FF FC
FF FF FF FF 4F 4F 4F 4F 4F 4F 4F BA BA BA FF FC
FF FF FF FF FF FF 4F 4F 4F 4F 4F BA BA BA FF FF
FF FF FF FF FF FF 4F 4F 4F 4F 4F FF FF FF FF
FF FF FF FF FF FF 4F 4F 4F 4F 4F FF FF FF FF
```

# Kompresja

2001 © Piotr M. Szczypinski

- Kompresja obrazów rastrowych (wybrane standardy)

- Kompresja bezstratna

- Transmisja faksowa (CCITT bilevel encoding)
- Kodowanie obrazów z paletą barw LZW (CompuServe GIF)

- Kompresja stratna

- Kodowanie obrazów kolorowych i monochromatycznych (JPEG - Joint Photographic Expert Group)

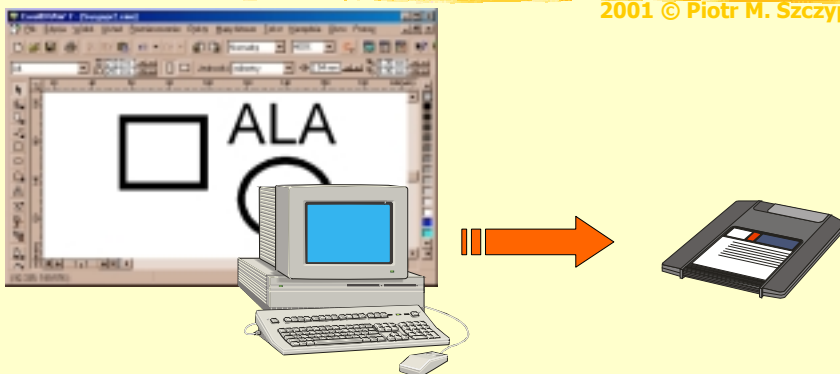
## Obrazy wektorowe - próba definicji

2001 © Piotr M. Szczypinski

- Obrazy wektorowe są zbiorem pierwotnych składników (tzw. prymitywów) takich jak odcinki, łuki, znaki alfanumeryczne i podstawowe figury geometryczne.
- Dane o obrazie zawierają informację o rodzaju, wymiarach oraz położeniu poszczególnych składników na powierzchni rysunku lub w przestrzeni obrazu trójwymiarowego.

## Metody uzyskiwania obrazów wektorowych

2001 © Piotr M. Szczypinski

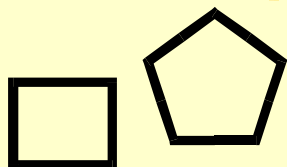


- Obrazy wektorowe tworzone są zazwyczaj sztucznie za pomocą komputera.



## Zapis obrazów wektorowych

2001 © Piotr M. Szczypinski



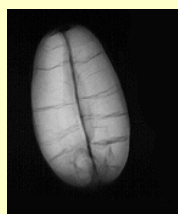
- Przykład zapisu pliku wektorowego w standardzie HPGL

```
IN;
VS32,1;
VS32,2;
VS32,3;
VS32,4;
VS32,5;
VS32,6;
VS32,7;
VS32,8;
WU0;
PW0.350,1;
PW0.350,2;
PW0.350,3;
PW0.350,4;
PW0.350,5;
PW0.350,6;
PW0.350,7;
PW0.350,8;
SP1;
PU1446 2116;
PD2011 1705;
PD2576 1295;
PD2361 630;
PD2144 -31;
PD1446 -31;
PD748 -31;
PD532 630;
PD316 1295;
PD881 1705;
PD1446 2116;
SP1;
PU-1964 947;
PD-288 947;
PD-288 -453;
PD-1964 -453;
PD-1964 947;
SP0;
```

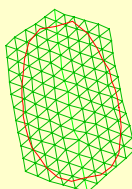
## Metapliki (same zalety)

2001 © Piotr M. Szczypinski

- Zaawansowane graficzne systemy komputerowe posługują się metaplikami (ang. *metafiles*) zawierającymi listy poleceń dla systemu graficznego.
- Metapliki pozwalają między innymi na połączenie obu sposobów reprezentacji obrazów, jednoczesne wyświetlenie obrazu rastrowego i umieszczenie na jego powierzchni widocznych znaczników i opisów w formacie wektorowym.

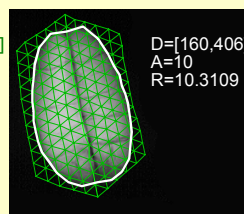


obraz rastrowy



obraz wektorowy

D=[160,406]  
A=10  
R=10.3109



metaplik

D=[160,406]  
A=10  
R=10.3109

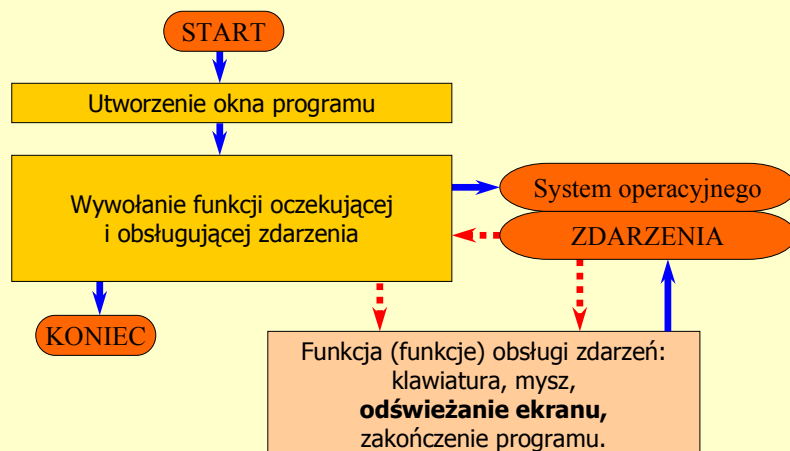
# Komputerowe systemy graficzne

2001 © Piotr M. Szczypinski

- Środowiska wieloprogramowe (kilka aplikacji działających równocześnie) i wielowątkowe
  - konieczność kontroli dostępu poszczególnych aplikacji i wątków do urządzeń graficznych
  - podział ekranu na fragmenty, do których dostęp mają poszczególne aplikacje
- Praca w sieci
  - ustalenie standardów przesyłania grafiki w sieci
- Różnorodność dołączonych do systemu komputerowego urządzeń graficznych
  - ujednoczenie metod tworzenia grafiki

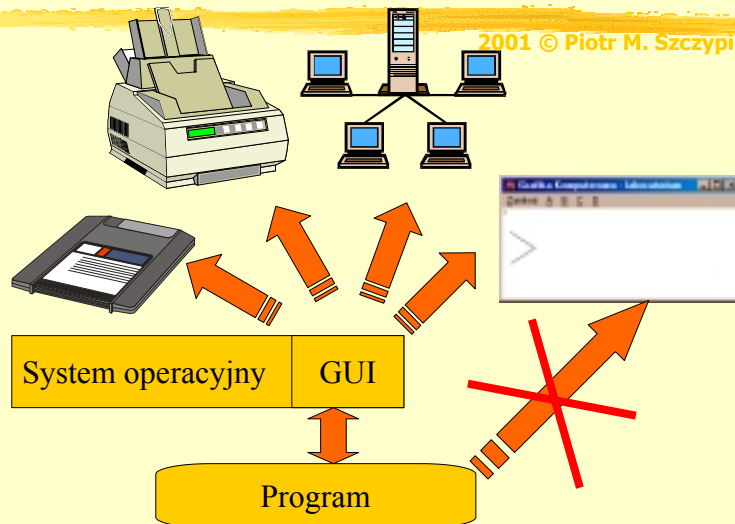
# Program w Windows (pętla obsługi zdarzeń)

2001 © Piotr M. Szczypinski



# GUI - graficzny interfejs użytkownika

2001 © Piotr M. Szczypinski



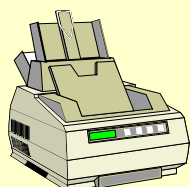
# Kontekst urządzenia (w MS-Windows)

2001 © Piotr M. Szczypinski

```
// Kontekst odświeżania wnętrza okna
kontekst = BeginPaint(okno, &struktrys );
```

```
// Wywołania procedur graficznych
```

```
EndPoint( okno, &struktrys );
```



```
// Kontekst drukarki
PRINTDLG pd;
PrintDlg(&pd); kontekst = pd.hDC;
StartPage(kontekst);
```

```
// Wywołania procedur graficznych
```

```
EndPage(kontekst);
DeleteDC(kontekst);
```

## Przykłady funkcji graficznych (w MS-Windows)

2001 © Piotr M. Szczypinski

**SetPixelV**(kontekst, x, y, RGB(r, g, b));

**MoveToEx**(kontekst, x, y, NULL);

**LineTo**(kontekst, x, y);

**Rectangle**(kontekst, x1, y1, x2, y2);

**TextOut**(kontekst, x, y, "Napis", z);

- Funkcje graficzne pozwalają sterować pracą różnych urządzeń graficznych poprzez utworzony kontekst tych urządzeń

## Przykłady funkcji graficznych (w MS-Windows)

2001 © Piotr M. Szczypinski

POINT tablica[n];

...

tablica[k].x = *współrzędna\_x\_punktu\_k*;

tablica[k].y = *współrzędna\_y\_punktu\_k*;

...

**Polygon**(kontekst, tablica, n);

## Przykłady funkcji graficznych (w MS-Windows)

2001 © Piotr M. Szczypinski

```
HPEN pen;
HBRUSH brush;
HGDIOBJ oldpen, oldbrush;
pen = CreatePen(PS_SOLID, 1, RGB(rp, gp, bp)); // rp, gp, bp są skład. kolorów
brush = CreateSolidBrush(RGB(rb, gb, bb)); // rb, gb, bb są skład. kolorów
oldpen = SelectObject(kontekst, pen);
oldbrush = SelectObject(kontekst, brush);
...
// Wywołanie funkcji graficznych korzystających z pióra i pędzla
// np.: Polygon(), LineTo(), Rectangle()
...
SelectObject(kontekst, oldbrush);
SelectObject(kontekst, oldpen);
DeleteObject(brush);
DeleteObject(pen);
```

## Obraz rastrowy w systemie MS-Windows (bitmapa)

2001 © Piotr M. Szczypinski

■ BITMAPFILEHEADER	■ BITMAPINFO
WORD bfType; <b>BM</b>	BITMAPINFOHEADER bmiHeader;
DWORD bfSize;	DWORD biSize;
WORD bfReserved1;	LONG biWidth;
WORD bfReserved2;	LONG biHeight;
DWORD bfOffBits;	WORD biPlanes;
	WORD biBitCount
	DWORD biCompression;
	DWORD biSizeImage;
	LONG biXPelsPerMeter;
	LONG biYPelsPerMeter;
	DWORD biClrUsed;
	DWORD biClrImportant;
	RGBQUAD bmiColors[];
	■ Macierz pikseli

## Funkcja wyświetlania bitmapy

2001 © Piotr M. Szczypinski

```
StretchDIBits(kontekst,  
x1_okna, y1_okna,  
x2_okna, y2_okna,  
x1_bitmapy, y1_bitmapy,  
x2_bitmapy, y2_bitmapy,  
wsk_pam_bmp, wsk_pam_inf,  
DIB_RGB_COLORS, SRCCOPY);
```

## Metaplik w systemach MS-Windows

2001 © Piotr M. Szczypinski

- Windows Metafile ver. 1.00
  - rozszerzenie pliku diskowego: .wmf
  
- Windows Metafile ver. 3.00
  - wprowadzono w Windows 3.00
  - rozszerzenie pliku diskowego: .wmf
  
- Enhanced Windows Metafile
  - wprowadzono w Windows 95
  - do wykorzystania przez aplikacje API32
  - rozszerzenie pliku diskowego: .emf

## Struktura Metapliku (wmf)

2001 © Piotr M. Szczypinski

### ■ METAFILEHEADER

- DWORD key; 0x9AC6CDD7L
- HANDLE hmf; 0
- RECT bbox;
- WORD inch;
- DWORD reserved;
- WORD checksum;

### ■ METAHEADER

- WORD mtType;
- WORD mtHeaderSize;
- WORD mtVersion;
- DWORD mtSize;
- WORD mtNoObjects;
- DWORD mtMaxRecord;
- WORD mtNoParameters;

### ■ METARECORD

- DWORD rdSize;
- WORD rdFunction;
- WORD rdParm[];

## Struktura Metapliku (emf) (WIN32 API)

2001 © Piotr M. Szczypinski

### ■ ENHMETAHEADER

- DWORD iType;
- DWORD nSize;
- RECTL rclBounds;
- RECTL rclFrame;
- DWORD dSignature;
- DWORD nVersion;
- DWORD nBytes;
- DWORD nRecords;
- WORD nHandles;
- WORD sReserved;
- DWORD nDescription;
- DWORD offDescription;
- DWORD nPalEntries;
- SIZEL szlDevice;
- SIZEL szlMillimeters;
- DWORD cbPixelFormat;
- DWORD offPixelFormat;
- DWORD bOpenGL;

### ■ ENHMETARECORD

- DWORD iType;
- DWORD nSize;
- DWORD dParm[];

## Windows Metafile

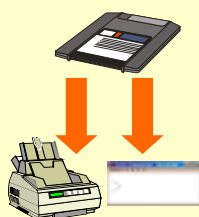
2001 © Piotr M. Szczypinski

```
// ZAPIS METAPLIKU  
// Kontekst pliku dyskowego wmf  
kontekst=CreateMetaFile("plik.wmf");
```



```
// Wywołania procedur graficznych
```

```
CloseMetaFile(kontekst);
```



Utworzenie kontekstu urządzenia *kontekst*

```
// WYŚWIETLANIE METAPLIKU  
HMETAFILE hwmf = GetMetaFile("plik.wmf");
```

```
PlayMetaFile(kontekst, hwmf);
```

```
DeleteMetaFile(hwmf);
```

Zamknięcie kontekstu urządzenia *kontekst*

## Windows Enhanced Metafile

(WIN32 API)

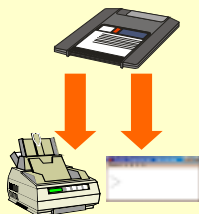
2001 © Piotr M. Szczypinski

```
// ZAPIS METAPLIKU  
// Kontekst pliku dyskowego emf  
kontekst=CreateEnhMetaFile(NULL, "plik.emf", NULL, NULL);
```



```
// Wywołania procedur graficznych
```

```
CloseEnhMetaFile(kontekst);
```



Utworzenie kontekstu urządzenia *kontekst*

```
// WYŚWIETLANIE METAPLIKU  
HENHMETAFILE hemf = GetEnhMetaFile("plik.emf");
```

```
PlayEnhMetaFile(kontekst, hemf, &rect);
```

```
DeleteEnhMetaFile(hemf);
```

Zamknięcie kontekstu urządzenia *kontekst*



## Obrazy trójwymiarowe

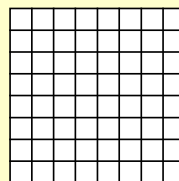
2001 © Piotr M. Szczypinski

- Obrazy rastrowe
  - metody akwizycji rastrowych obrazów 3D
  - próba definicji obrazu rastrowego 3D (voxel)
  - zastosowania
- Obrazy wektorowe
  - metody otrzymywania trójwymiarowych obrazów wektorowych
  - metody obrazowania sceny 3D na płaszczyźnie
  - zastosowania

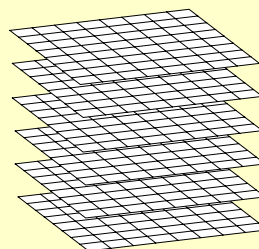
## Trójwymiarowe obrazy rastrowe

2001 © Piotr M. Szczypinski

- W procesie tworzenia trójwymiarowego obrazu cyfrowego wprowadza się podział pewnej objętości przestrzeni trójwymiarowej na elementarne części zwane voxelami (ang. *volume picture element*).
- Dla każdego voxela jest wyznaczana przez próbkowanie lub przez fizyczne całkowanie jego jasność, która odpowiada fizycznym cechom fragmentu przestrzeni trójwymiarowej.
- Analogowa wartość jasności voxela ulega kwantyzacji, zamianie na jeden z poziomów dyskretnych.
- Wynikowa informacja o obrazie zapisywana jest w postaci trójwymiarowej tablicy dyskretnych jasności poszczególnych voxelów obrazu.



Obraz 2D



Obraz 3D

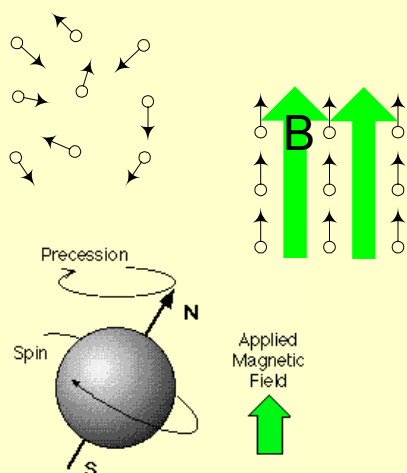
## Metody akwizycji obrazów 3D

2001 © Piotr M. Szczypinski

- Tomografia rezonansu magnetycznego (**MRI** - Magnetic Resonance Imaging)
- Rentgenowska tomografia komputerowa (**CT** - Computer Tomography)
- Echosonografia trójwymiarowa (**USG 3D**)

## Zjawisko rezonansu magnetycznego (1)

2001 © Piotr M. Szczypinski

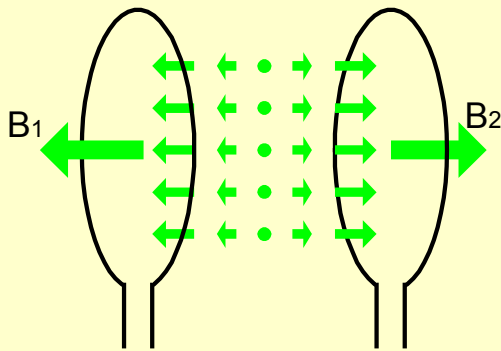


- Spin protonów w jądrze atomowym
- Porządkowanie kierunku spinów pod wpływem pola magnetycznego
- Zjawisko precesji
- Zależność częstotliwości precesji od natężenia pola magnetycznego

<http://members.lycos.nl/mri/Nieuw/framesinhoudeng.htm>  
[http://brainmapping.loni.ucla.edu/BMD\\_HTML/SharedCode/TINS/FMRI-TINS.html](http://brainmapping.loni.ucla.edu/BMD_HTML/SharedCode/TINS/FMRI-TINS.html)

## Zjawisko rezonansu magnetycznego (2)

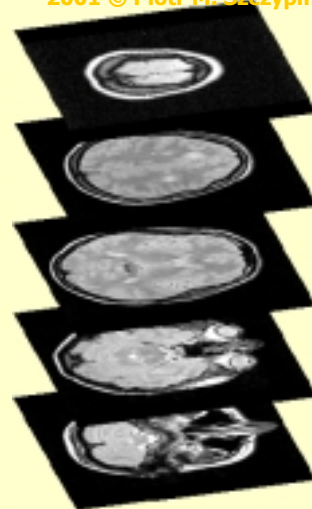
2001 © Piotr M. Szczypinski



- Tworzenie gradientu pola magnetycznego za pomocą pary cewek
- Zastosowania trzech par cewek wytwarzających gradient pola magnetycznego, działających w kierunkach x, y i z, umożliwia wytworzenie pola o zadanej wielkości w jednym punkcie obrazowanej objętości

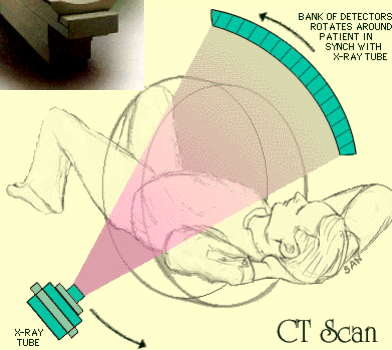
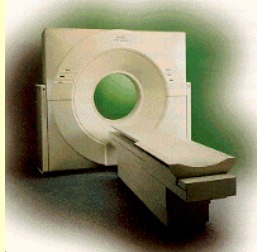
## MRI - Obrazowanie rezonansu magnetycznego

2001 © Piotr M. Szczypinski



# Tomografia komputerowa (rentgenowska)

2001 © Piotr M. Szczypiński



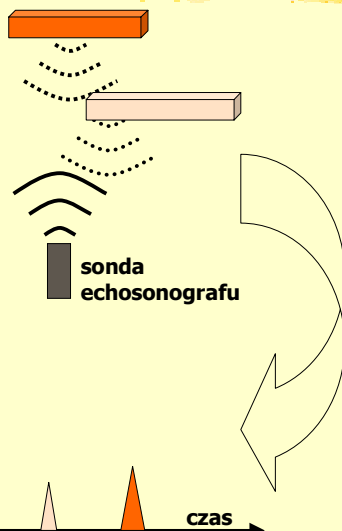
- Wykonanie prześwietleń pod wieloma kątami
- rekonstrukcja przekroju na podstawie wykonanych prześwietleń



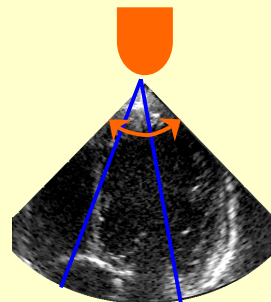
[http://radiology.bidmc.harvard.edu/kinds\\_of\\_exams/CT/CT.html](http://radiology.bidmc.harvard.edu/kinds_of_exams/CT/CT.html)

# Echsonografia (ultrasonografia)

2001 © Piotr M. Szczypiński

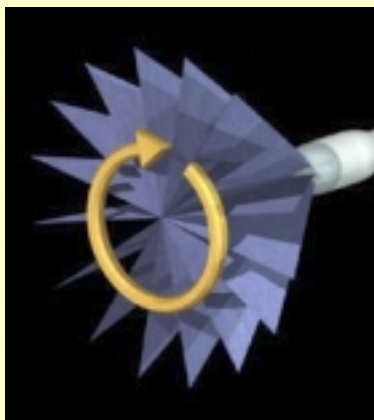


- Zjawisko odbicia fali dźwiękowej
- obrazowanie na podstawie odbitej fali dźwiękowej



## Echsonografia 3D

2001 © Piotr M. Szczypinski



Obrót sondy



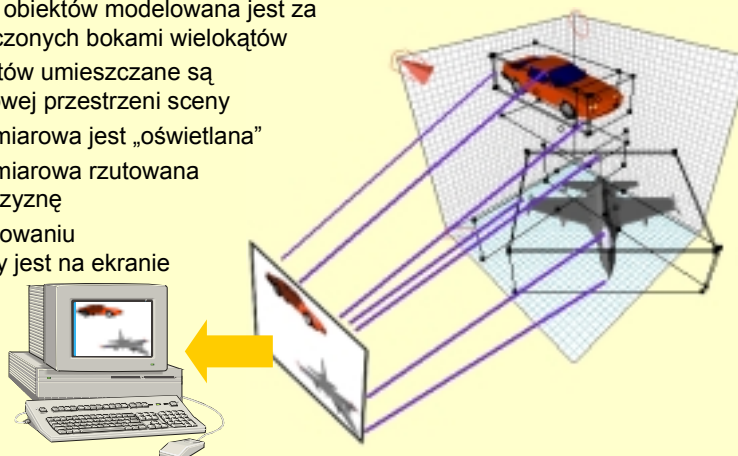
Zmiana kąta nachylenia sondy

<http://www.gyneweb.fr/sources/echographie/bbenoit/Echo3D.html>

## Trójwymiarowe obrazy wektorowe

2001 © Piotr M. Szczypinski

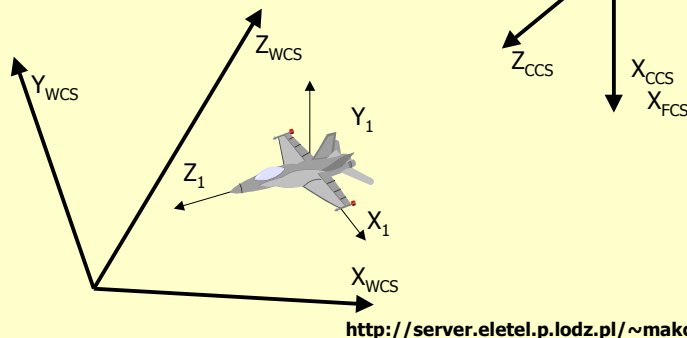
- W wirtualnej przestrzeni trójwymiarowej modelowane są obiekty (bryły)
- Obiekty definiowane są poprzez określenie kształtu ich powierzchni
- Powierzchnia obiektów modelowana jest za pomocą połączonych bokami wielokątów
- Modele obiektów umieszczane są w trójwymiarowej przestrzeni sceny
- Scena trójwymiarowa jest „oświetlana”
- Scena trójwymiarowa rzutowana jest na płaszczyznę
- Obraz po rzutowaniu przedstawiany jest na ekranie



# Układy współrzędnych

2001 © Piotr M. Szczypinski

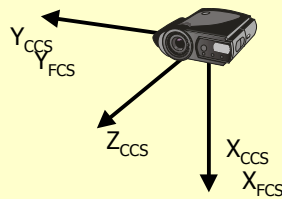
- Układy współrzędnych obiektów
- Układ współrzędnych sceny (WCS)
- Układ współrzędnych kamery (CCS)
- Układ współrzędnych filmu (FCS)



# Rzutowanie

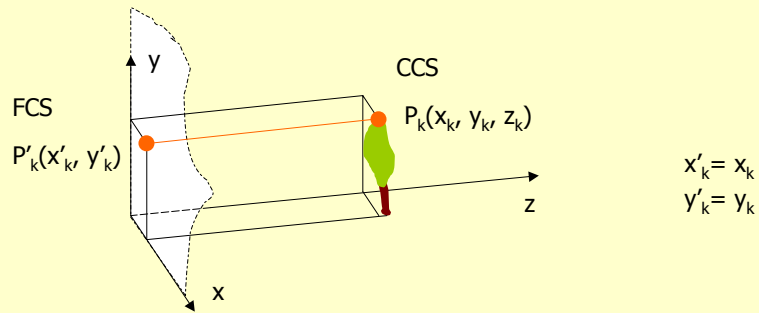
2001 © Piotr M. Szczypinski

- Załóżmy, że wszystkie współrzędne są określone w układzie współrzędnych kamery (zostały przeliczone).
- Zadaniem jest rzutowanie sceny trójwymiarowej na płaszczyznę obrazu.  
*Rzutowanie - transformacja przestrzeni  $R^n$  w przestrzeń  $R^{n-1}$*



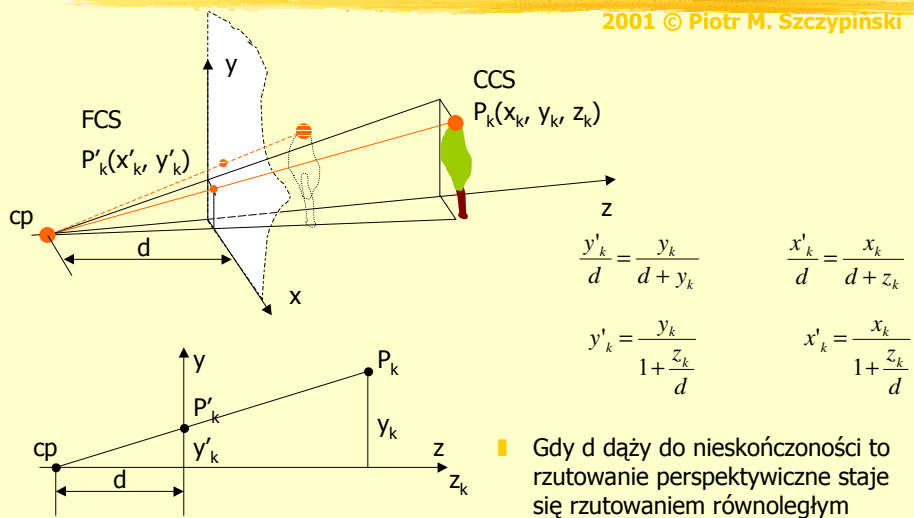
# Rzutowanie równoległe

2001 © Piotr M. Szczypinski



# Rzutowanie perspektywiczne

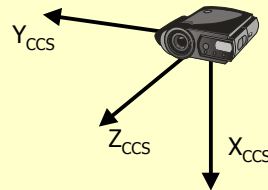
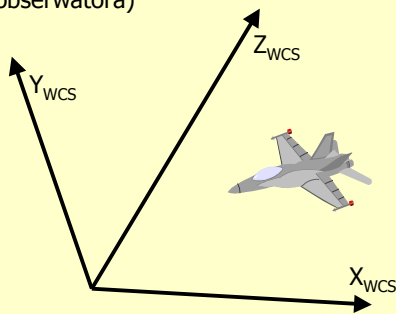
2001 © Piotr M. Szczypinski



# Zmiana układu współrzędnych

2001 © Piotr M. Szczypinski

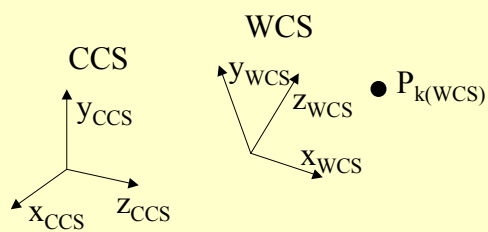
- Załóżmy, że wszystkie współrzędne są określone w układzie współrzędnych sceny.
- Zadaniem jest zmiana współrzędnych obiektu z układu współrzędnych sceny do układu współrzędnych kamery (obserwatora)



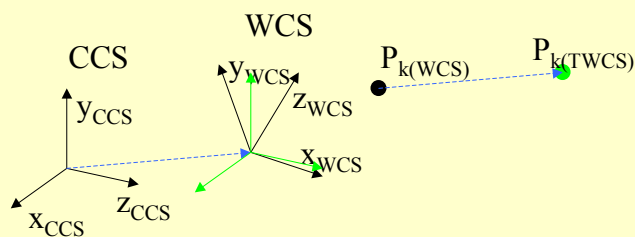
- Transformację układu współrzędnych wykonamy w dwóch etapach:
  - przesunięcia (translacji),
  - obrotu (rotacji).

# Przesunięcie (translacja)

2001 © Piotr M. Szczypinski



$$\begin{bmatrix} x_{k(TWCS)} \\ y_{k(TWCS)} \\ z_{k(TWCS)} \end{bmatrix} = \begin{bmatrix} x_{k(WCS)} \\ y_{k(WCS)} \\ z_{k(WCS)} \end{bmatrix} + \begin{bmatrix} t_x \\ t_y \\ t_z \end{bmatrix}$$

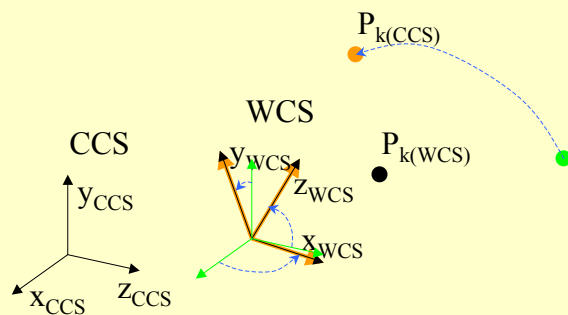




# Obrót (rotacja)

2001 © Piotr M. Szczypiński

$$\begin{bmatrix} x_{k(CCS)} \\ y_{k(CCS)} \\ z_{k(CCS)} \end{bmatrix} = \begin{bmatrix} c_{xx} & c_{xy} & c_{xz} \\ c_{yx} & c_{yy} & c_{yz} \\ c_{zx} & c_{zy} & c_{zz} \end{bmatrix} \left( \begin{bmatrix} x_{k(WCS)} \\ y_{k(WCS)} \\ z_{k(WCS)} \end{bmatrix} + \begin{bmatrix} t_x \\ t_y \\ t_z \end{bmatrix} \right)$$



# Właściwości macierzy C

2001 © Piotr M. Szczypiński

$$\begin{bmatrix} x_{k(CCS)} \\ y_{k(CCS)} \\ z_{k(CCS)} \end{bmatrix} = \underbrace{\begin{bmatrix} c_{xx} & c_{xy} & c_{xz} \\ c_{yx} & c_{yy} & c_{yz} \\ c_{zx} & c_{zy} & c_{zz} \end{bmatrix}}_{\mathbf{C}} \left( \begin{bmatrix} x_{k(WCS)} \\ y_{k(WCS)} \\ z_{k(WCS)} \end{bmatrix} + \begin{bmatrix} t_x \\ t_y \\ t_z \end{bmatrix} \right)$$

■ Macierz powinna być ortonormalna:

- zachowanie ortogonalności układu współrzędnych (kierunki osi prostopadłe)
- zachowanie proporcjonalnych rozmiarów we wszystkich kierunkach

$$\mathbf{C}^T \mathbf{C} = \mathbf{1}$$

$$\mathbf{C}^T \mathbf{C}^{-1} = \mathbf{1} \mathbf{C}^{-1}$$

$$\mathbf{C}^T = \mathbf{C}^{-1}$$

<http://server.elel.p.lodz.pl/~makowski/graph.html>

## Przykład 1 (założenia)

2001 © Piotr M. Szczypinski

Niech:

- Kamera znajduje się w punkcie  $[a_x, a_y, a_z]^T$  w układzie współrzędnych sceny,
- Kamera jest skierowana zgodnie z wektorem  $[b_x, b_y, b_z]^T$  w układzie współrzędnych sceny,
- Kamera nie jest skręcona (podstawa kamery równoległa do płaszczyzny OYZ układu współrzędnych sceny)

## Przykład 1 (wektor przesunięcia)

2001 © Piotr M. Szczypinski

- Wektor przesunięcia jest równy zanegowanemu wektorowi położenia kamery w układzie współrzędnych sceny.

$$[t_x, t_y, t_z]^T = -[a_x, a_y, a_z]^T$$

## Przykład 1 (macierz rotacji - wiersz 3)

2001 © Piotr M. Szczypinski

- Wektor  $[c_{zx}, c_{zy}, c_{zz}]^T$  odpowiada za przekształcenie osi Z układu współrzędnych, wzdłuż której skierowana jest kamera.
- Wektor  $[c_{zx}, c_{zy}, c_{zz}]^T$  jest równy znormalizowanemu wektorowi  $[b_x, b_y, b_z]^T$ .

$$\begin{bmatrix} c_{xx} & c_{xy} & c_{xz} \\ c_{yx} & c_{yy} & c_{yz} \\ c_{zx} & c_{zy} & c_{zz} \end{bmatrix}$$

$$[c_{zx}, c_{zy}, c_{zz}]^T = [b_x, b_y, b_z]^T / \|[b_x, b_y, b_z]^T\|$$

<http://server.eletel.p.lodz.pl/~makowski/graph.html>

## Przykład 1 (macierz rotacji - wiersz 1)

2001 © Piotr M. Szczypinski

- Wektor  $[c_{xx}, c_{xy}, c_{xz}]^T$  odpowiada za to czy kamera jest skręcona.
- Ponieważ kamera nie jest skręcona to wektor  $[c_{zx}, c_{zy}, c_{zz}]^T$  powinien być prostopadły do obliczonego wektora  $[c_{zx}, c_{zy}, c_{zz}]^T$  i równoległy do osi OYZ układu współrzędnych sceny
- Wektor  $[c_{xx}, c_{xy}, c_{xz}]^T$  powinien być znormalizowany

$$\begin{bmatrix} c_{xx} & c_{xy} & c_{xz} \\ c_{yx} & c_{yy} & c_{yz} \\ c_{zx} & c_{zy} & c_{zz} \end{bmatrix}$$

$$[c_{xx}, c_{xy}, c_{xz}]^T = [c_{zz}, 0, -c_{zx}]^T / \|[c_{zz}, 0, -c_{zx}]^T\|$$

<http://server.eletel.p.lodz.pl/~makowski/graph.html>

## Przykład 1 (macierz rotacji - wiersz 2)

2001 © Piotr M. Szczypinski

- Wektor  $[c_{yx}, c_{yy}, c_{yz}]^T$  powinien być prostopadły do obliczonych już wektorów  $[c_{xx}, c_{xy}, c_{xz}]^T$  i  $[c_{zx}, c_{zy}, c_{zz}]^T$
- Można go więc obliczyć jako iloczyn wektorowy wektorów  $[c_{xx}, c_{xy}, c_{xz}]^T$  i  $[c_{zx}, c_{zy}, c_{zz}]^T$

$$\begin{bmatrix} c_{xx} & c_{xy} & c_{xz} \\ c_{yx} & c_{yy} & c_{yz} \\ c_{zx} & c_{zy} & c_{zz} \end{bmatrix}$$

$$[c_{yx}, c_{yy}, c_{yz}]^T = [c_{xx}, c_{xy}, c_{xz}]^T \times [c_{zx}, c_{zy}, c_{zz}]^T$$

<http://server.eletel.p.lodz.pl/~makowski/graph.html>

## Przykład 2 (założenia)

2001 © Piotr M. Szczypinski

Niech:

- Kamera znajduje się w punkcie  $[a_x, a_y, a_z]^T$  w układzie współrzędnych sceny,
- Kamera jest skierowana względem układu współrzędnych sceny
  - o kąt  $\alpha$  (Yaw) w lewo,
  - o kąt  $\beta$  (Pitch) do góry
  - i jest skręcona o kąt  $\gamma$  (Roll).

## Przykład 2 (wektor przesunięcia)

2001 © Piotr M. Szczypinski

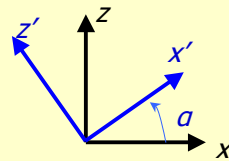
- Wektor przesunięcia jest równy zanegowanemu wektorowi położenia kamery w układzie współrzędnych sceny.

$$[t_x, t_y, t_z]^T = -[a_x, a_y, a_z]^T$$

## Przykład 2 (obrót o kąt $\alpha$ )

2001 © Piotr M. Szczypinski

- Kamera jest obrócona o kąt  $\alpha$  w osi pionowej y układu współrzędnych.
- Transformacji ze względu na kąt  $\alpha$  podlegają współrzędne  $x$  i  $z$  układu współrzędnych.



$$\begin{bmatrix} \cos \alpha & 0 & \sin \alpha \\ 0 & 1 & 0 \\ -\sin \alpha & 0 & \cos \alpha \end{bmatrix}$$

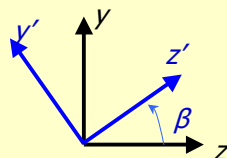
$$x' = x \cos \alpha + z \sin \alpha$$

$$z' = z \cos \alpha - x \sin \alpha$$

## Przykład 2 (obrót o kąt $\beta$ )

2001 © Piotr M. Szczypinski

- Kamera jest podniesiona o kąt  $\beta$  w osi x układu współrzędnych.
- Transformacji ze względu na kąt  $\beta$  podlegają współrzędne y i z.



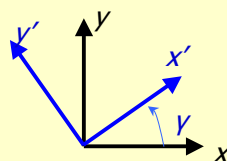
$$\begin{bmatrix} 1 & 0 & 0 \\ 0 & \cos \beta & -\sin \beta \\ 0 & \sin \beta & \cos \beta \end{bmatrix}$$

$$\begin{aligned} z' &= z \cos \beta + y \sin \beta \\ y' &= y \cos \beta - z \sin \beta \end{aligned}$$

## Przykład 2 (obrót o kąt $\gamma$ )

2001 © Piotr M. Szczypinski

- Kamera jest skrzyżona o kąt  $\gamma$  w osi z układu współrzędnych.
- Transformacji ze względu na kąt  $\gamma$  podlegają współrzędne x i y.



$$\begin{bmatrix} \cos \gamma & \sin \gamma & 0 \\ -\sin \gamma & \cos \gamma & 0 \\ 0 & 0 & 1 \end{bmatrix}$$

$$\begin{aligned} x' &= x \cos \gamma + y \sin \gamma \\ y' &= y \cos \gamma - x \sin \gamma \end{aligned}$$

## Przykład 2 (macierz rotacji)

2001 © Piotr M. Szczypiński

$$\begin{bmatrix} x_{k(CCS)} \\ y_{k(CCS)} \\ z_{k(CCS)} \end{bmatrix} = \begin{bmatrix} \cos \gamma & \sin \gamma & 0 \\ -\sin \gamma & \cos \gamma & 0 \\ 0 & 0 & 1 \end{bmatrix} \begin{bmatrix} 1 & 0 & 0 \\ 0 & \cos \beta & -\sin \beta \\ 0 & \sin \beta & \cos \beta \end{bmatrix} \begin{bmatrix} \cos \alpha & 0 & \sin \alpha \\ 0 & 1 & 0 \\ -\sin \alpha & 0 & \cos \alpha \end{bmatrix} \begin{bmatrix} x_{k(WCS)} \\ y_{k(WCS)} \\ z_{k(WCS)} \end{bmatrix} + \begin{bmatrix} t_x \\ t_y \\ t_z \end{bmatrix}$$

$$\begin{bmatrix} c_{xx} & c_{xy} & c_{xz} \\ c_{yx} & c_{yy} & c_{yz} \\ c_{zx} & c_{zy} & c_{zz} \end{bmatrix} = \begin{bmatrix} \cos \gamma & \sin \gamma & 0 \\ -\sin \gamma & \cos \gamma & 0 \\ 0 & 0 & 1 \end{bmatrix} \begin{bmatrix} 1 & 0 & 0 \\ 0 & \cos \beta & -\sin \beta \\ 0 & \sin \beta & \cos \beta \end{bmatrix} \begin{bmatrix} \cos \alpha & 0 & \sin \alpha \\ 0 & 1 & 0 \\ -\sin \alpha & 0 & \cos \alpha \end{bmatrix} =$$

$$= \begin{bmatrix} \cos \gamma & \sin \gamma & 0 \\ -\sin \gamma & \cos \gamma & 0 \\ 0 & 0 & 1 \end{bmatrix} \begin{bmatrix} \cos \alpha & 0 & \sin \alpha \\ \sin \alpha \sin \beta & \cos \beta & -\cos \alpha \sin \beta \\ -\sin \alpha \cos \beta & \sin \beta & \cos \alpha \cos \beta \end{bmatrix} =$$

$$= \begin{bmatrix} \cos \alpha \cos \gamma + \sin \alpha \sin \beta \sin \gamma & \cos \beta \sin \gamma & \sin \alpha \cos \gamma - \cos \alpha \sin \beta \sin \gamma \\ -\cos \alpha \sin \gamma + \sin \alpha \sin \beta \cos \gamma & \cos \beta \cos \gamma & -\sin \alpha \sin \gamma \cos \beta - \cos \alpha \sin \beta \cos \gamma \\ -\sin \alpha \cos \beta & \sin \beta & \cos \alpha \cos \beta \end{bmatrix}$$

## Współrzędne jednorodne

2001 © Piotr M. Szczypiński

Transformacja układu współrzędnych  
jest złożeniem:

- przesunięcia (dodawanie wektorów)
- rotacji (mnożenie macierzy przez wektor).

$$\begin{bmatrix} x_{k(CCS)} \\ y_{k(CCS)} \\ z_{k(CCS)} \end{bmatrix} = \begin{bmatrix} c_{xx} & c_{xy} & c_{xz} \\ c_{yx} & c_{yy} & c_{yz} \\ c_{zx} & c_{zy} & c_{zz} \end{bmatrix} \begin{bmatrix} x_{k(WCS)} \\ y_{k(WCS)} \\ z_{k(WCS)} \end{bmatrix} + \begin{bmatrix} t_x \\ t_y \\ t_z \end{bmatrix}$$

Możliwe jest sprowadzenie dwóch działań do jednego działania - mnożenia macierzy. Konieczne jest dodanie dodatkowej, pomocniczej współrzędnej.

$$\begin{bmatrix} x_{k(CCS)} \\ y_{k(CCS)} \\ z_{k(CCS)} \\ 1 \end{bmatrix} = \begin{bmatrix} c_{xx} & c_{xy} & c_{xz} & 0 \\ c_{yx} & c_{yy} & c_{yz} & 0 \\ c_{zx} & c_{zy} & c_{zz} & 0 \\ 0 & 0 & 0 & 1 \end{bmatrix} \begin{bmatrix} 1 & 0 & 0 & t_x \\ 0 & 1 & 0 & t_y \\ 0 & 0 & 1 & t_z \\ 0 & 0 & 0 & 1 \end{bmatrix} \begin{bmatrix} x_{k(WCS)} \\ y_{k(WCS)} \\ z_{k(WCS)} \\ 1 \end{bmatrix}$$

$$\begin{bmatrix} x_{k(CCS)} \\ y_{k(CCS)} \\ z_{k(CCS)} \\ 1 \end{bmatrix} = \begin{bmatrix} c_{xx} & c_{xy} & c_{xz} & c_{xx}t_x + c_{xy}t_y + c_{xz}t_z \\ c_{yx} & c_{yy} & c_{yz} & c_{yx}t_x + c_{yy}t_y + c_{yz}t_z \\ c_{zx} & c_{zy} & c_{zz} & c_{zx}t_x + c_{zy}t_y + c_{zz}t_z \\ 0 & 0 & 0 & 1 \end{bmatrix} \begin{bmatrix} x_{k(WCS)} \\ y_{k(WCS)} \\ z_{k(WCS)} \\ 1 \end{bmatrix}$$

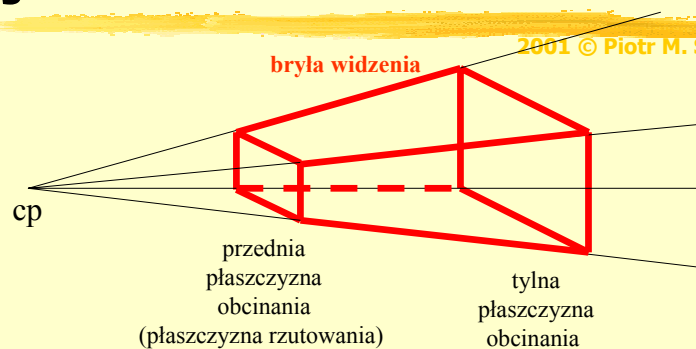
# Widoczne elementy sceny

2001 © Piotr M. Szczypinski

- Bryła widzenia
- Eliminowanie niewidocznych ścianek
- Przesłanianie

# Bryła widzenia

2001 © Piotr M. Szczypinski



Jeśli ekran ma rozmiar  $W \times H$ , a tylna płaszczyzna obcinania jest w odległości  $D$  od płaszczyzny rzutowania to na ekranie będą widoczne jedynie punkty  $P_k$ , których współrzędne w układzie CCS są:

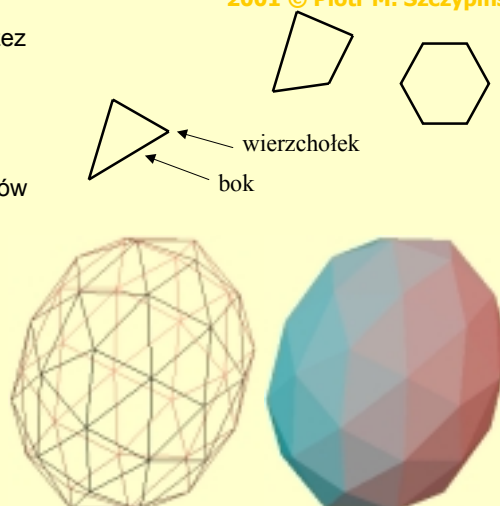
$$0 \leq z_k \leq D \quad -\frac{W}{2} \left(1 + \frac{z_k}{d}\right) \leq x_k \leq \frac{W}{2} \left(1 + \frac{z_k}{d}\right) \quad -\frac{H}{2} \left(1 + \frac{z_k}{d}\right) \leq y_k \leq \frac{H}{2} \left(1 + \frac{z_k}{d}\right)$$



## Modelowanie obiektów

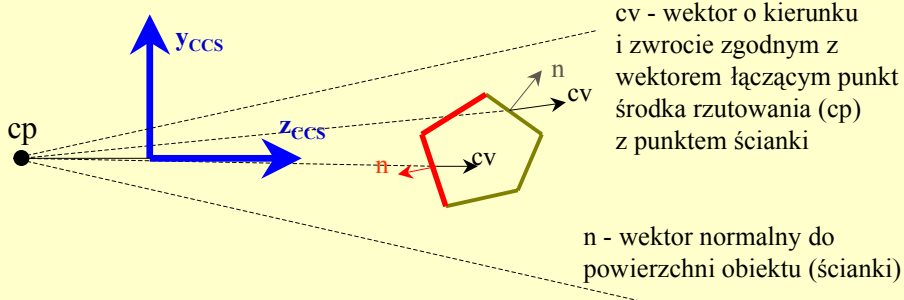
2001 © Piotr M. Szczypiński

- Obiekty definiowane są poprzez określenie kształtu ich powierzchni
- Powierzchnia obiektów modelowana jest za pomocą połączonych bokami wielokątów koplanarnych
- Powierzchnie są zazwyczaj zamknięte (zamykają pewną objętość)



## Eliminowanie niewidocznych ścianek obiektów

2001 © Piotr M. Szczypiński



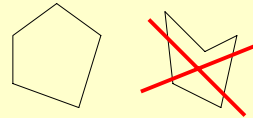
Jeśli  $cv \cdot n > 0$  to ścianka nie jest widoczna

# Wyznaczanie wektora normalnego

2001 © Piotr M. Szczypinski

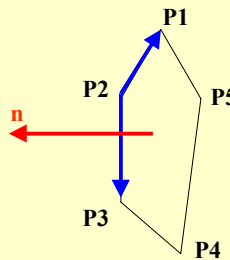
Jeśli założymy, że:

- wielobok ścianki jest koplanarny i wypukły,
- punkty wieloboku zapisane w kolejności zgodnej z ruchem wskazówek zegara (jeśli patrzeć od wewnątrz obiektu)



To:

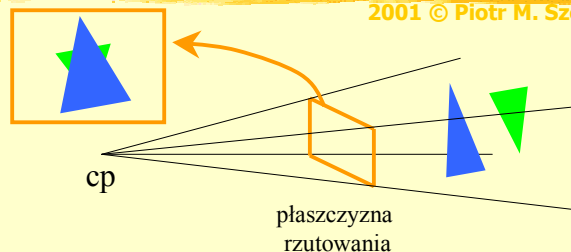
$$n = (\vec{p_2 p_3} \times \vec{p_2 p_1}) / \|\vec{p_2 p_3} \times \vec{p_2 p_1}\|$$



# Przesłanianie algorytm bufora głębokości

2001 © Piotr M. Szczypinski

Obiekt bliższy obserwatorowi przesłania obiekt, który znajduje się dalej.



- Bufor głębokości** (z-bufor) jest macierzą o rozmiarach obrazu, przechowującą odległości obiektu od obserwatora. Każdemu pikselowi tworzonego obrazu odpowiada wartość odległości w buforze głębokości.
- Podczas rysowania obiektu na powierzchni ekranu sprawdza się czy w danym pikselu już czegoś nie narysowano. Jeżeli tak, to w buforze głębokości sprawdza się czy to co narysowano wcześniej nie znajduje się bliżej niż to co ma być rysowane. Jeżeli tak, to rysowanie dla danego piksela nie jest wykonywane.

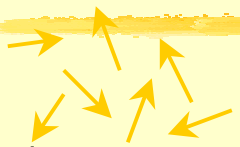


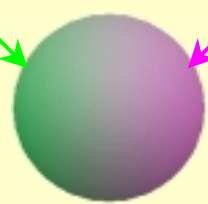
# Oświetlenie

2001 © Piotr M. Szczypinski

- Modele oświetlenia
- Modele odbić
- Interakcje obiektów:
  - cienie,
  - oświetlenie pośrednie.

# Modele oświetlenie

2001 © Piotr M. Szczypinski

- Oświetlenie otaczające  
(ang. *ambient illumination*)  

- Oświetlenie kierunkowe  

- Punktowe źródła światła  

- Kolor światła (model RGB)  


R=0  
G=1  
B=0

R=1  
G=0  
B=1

## Modele odbić

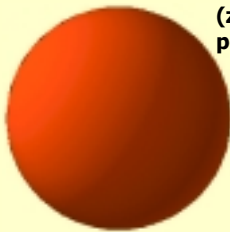
2001 © Piotr M. Szczypiński



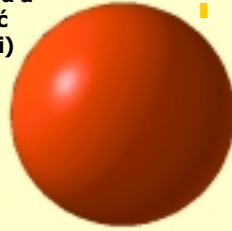
■ Oświetlenie światłem otaczającym



■ Odbicie płaskie (można wyróżnić poszczególne ścianki)



■ Model odbić Gouraud'a (złagodzenie przejść pomiędzy ściankami)

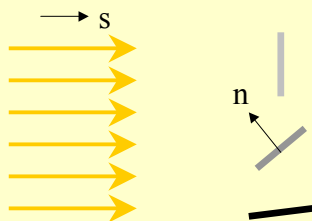


■ Model odbić Phong'a (możliwość obliczania odbłyśków światła)

## Modele odbić odbicie płaskie (stałe)

2001 © Piotr M. Szczypiński

- Oświetlenie kierunkowe
- Cała powierzchnia ścianki (wielokąta) rozprasza promienie równomiernie we wszystkich kierunkach

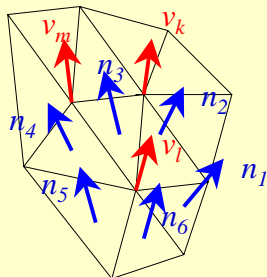


- Jeśli  $s$  jest znormalizowanym wektorem kierunku oświetlenia,  $n$  jest wektorem normalnym do oświetlanej powierzchni,  $L_R L_G L_B$  są składowymi barwy światła a  $J_R J_G J_B$  są składowymi barwy powierzchni to wynikowe składowe koloru powierzchni po rzutowaniu można zapisać:

$$- \begin{bmatrix} L_R J_R \\ L_G J_G \\ L_B J_B \end{bmatrix} n \cdot s$$

## Modele odbić odbicie (cieniowanie) Gouraud'a

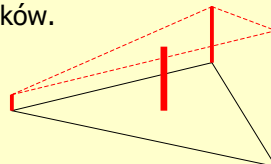
2001 © Piotr M. Szczypinski



- Powierzchnia modelu zdefiniowana jako siatka trójkątów
- Oświetlenie jest kierunkowe lub punktowe

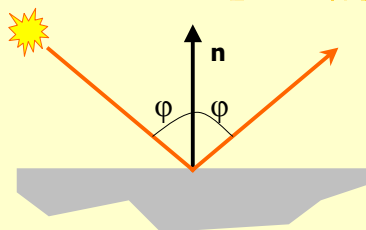
- Wektor normalny w wierzchołku jest średnią arytmetyczną wektorów normalnych ścianek, do których wierzchołek przynależy:  

$$v_i = (n_1 + n_2 + \dots + n_i) / i$$
- Barwa wierzchołków po rzutowaniu jest obliczana jak w modelu odbić płaskich.
- Barwa ścianki jest interpolowana na podstawie obliczonej barwy wierzchołków.

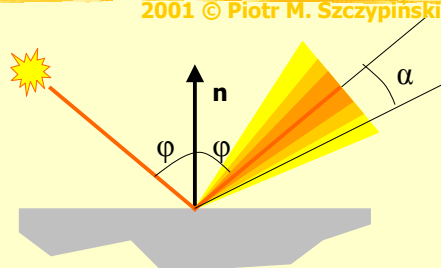


## Modele odbić odbłyśki w modelu Phong'a

2001 © Piotr M. Szczypinski



- Odbicie w idealnym zwierciadle



- Odbicie w modelu Phong'a (model nieidealnego zwierciadła)

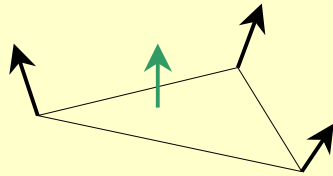
Intensywność odbłyśku dana jest równaniem:

$$I = \cos^n \alpha$$

barwa odbłyśku zależy od źródła światła, nie od barwy powierzchni

## Modele odbić model Phong'a

2001 © Piotr M. Szczypinski

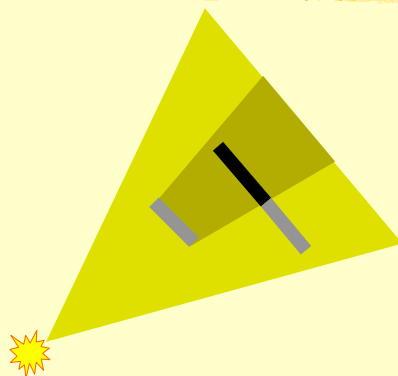


- Obliczanie wektorów normalnych w wierzchołkach
- Obliczanie wektorów normalnych w punktach ścianki jako interpolacji wektorów normalnych w wierzchołkach
- Obliczanie odbić i odbłyśków światła w poszczególnych punktach ścianki

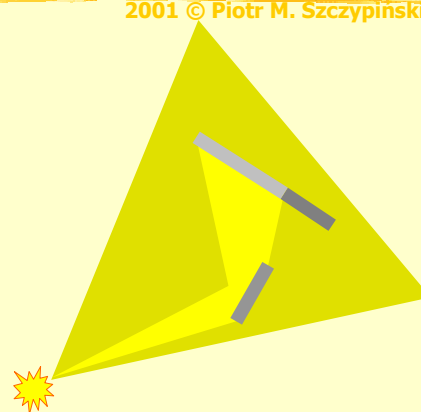
- Powierzchnia modelu zdefiniowana jako siatka trójkątów
- Oświetlenie jest kierunkowe lub punktowe

## Interakcje obiektów

2001 © Piotr M. Szczypinski



■ Cienie

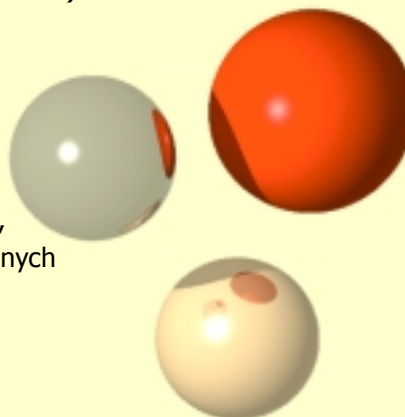


■ Oświetlenie pośrednie

## Metoda śledzenia promieni

2001 © Piotr M. Szczypinski

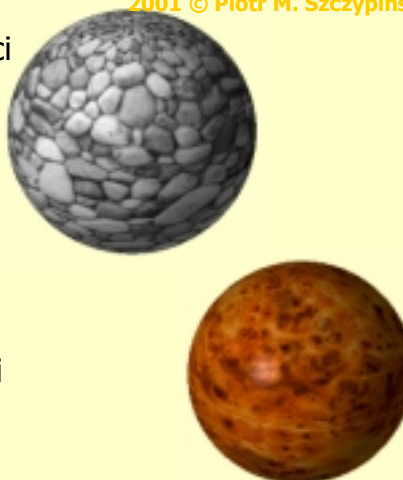
- Wsteczna analiza promienia światła od punktu środka rzutowania do źródła (źródła) światła
- Zalety:
  - rozwiązanie problemów cieni,
  - rozwiązanie problemu oświetlenia pośredniego,
  - usuwanie niewidocznych ścianek,
  - analiza przesłaniania się obiektów,
  - możliwość analizy odbić wewnętrznych w obiektach przezroczystych.
- Wady:
  - duży koszt obliczeniowy.



## Tekstury Powierzchnie niejednorodne

2001 © Piotr M. Szczypinski

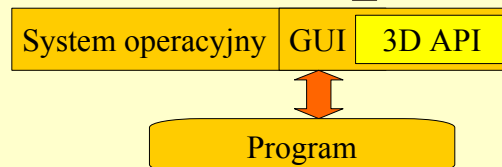
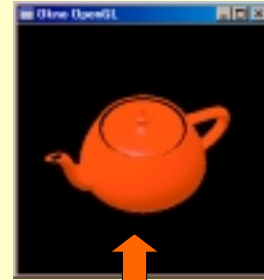
- Powierzchnie w rzeczywistości mogą odbijać światło w sposób niejednorodny,
- Do definiowania takiej powierzchni wykorzystuje się tekstury (wzory, desenie),
- Tekstury są zazwyczaj definiowane w formie bitmap „rozpinanych” na powierzchni obiektów.



## Programowanie grafiki 3D

2001 © Piotr M. Szczypinski

- Korzystanie z bibliotek obsługi grafiki 3D (3D API):
  - Wykorzystanie gotowych, sprawdzonych i zoptymalizowanych metod,
  - możliwość skorzystania z możliwości sprzętu graficznego (akceleracji 3D)



## Interfejsy programowe grafiki 3D

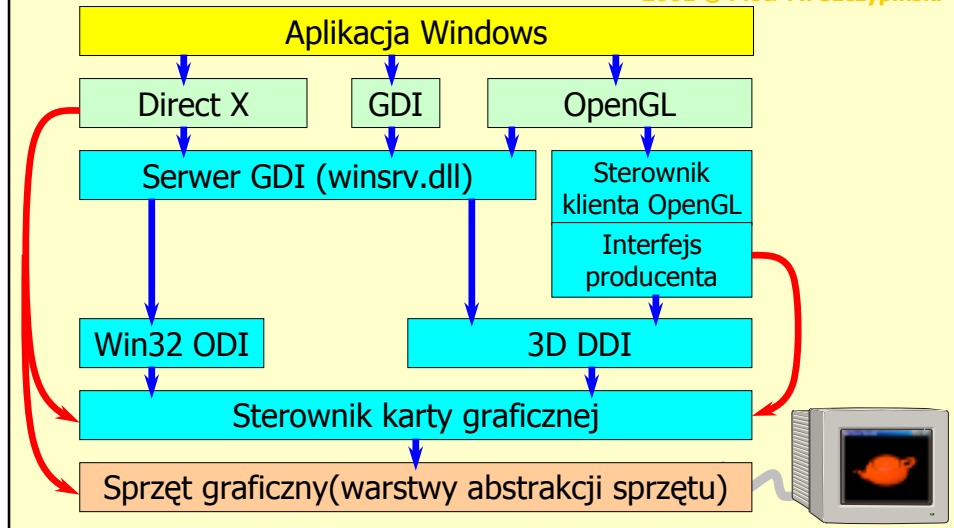
2001 © Piotr M. Szczypinski

- OpenGL (*GL - Graphics Language*)
  - standard i algorytmy opracowane przez Silicon Graphics dla stacji IRIS,
  - specyfikacja 1.0 OpenGL w 1992 roku (opracowano pakiety dla wielu platform komputerowych),
  - Microsoft dołączył OpenGL do systemów operacyjnych Windows NT 4.0 i Windows 95,
- Direct 3D (część Direct X)
  - celem pakietu Direct X jest ominięcie ograniczeń GUI systemu Windows i umożliwienie korzystania z zaawansowanych możliwości kart dźwiękowych i graficznych (np. w celu uruchamiania gier),
  - najpierw był Reality Lab firmy RenderMorphing (1994),
  - Microsoft kupuje RenderMorphing (1995) i tworzy Direct3D,
  - pakiet wciąż jest udoskonalany,
  - Direct X dostępne jedynie dla systemów operacyjnych Windows.



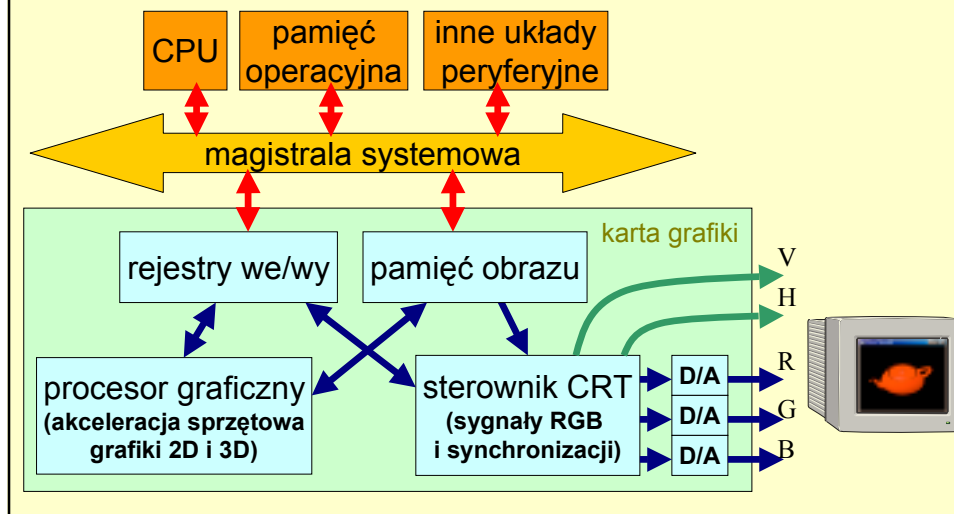
## Schemat działania akceleracji sprzętowej w Windows

2001 © Piotr M. Szczypinski



## Podstawy działania kart graficznych

2001 © Piotr M. Szczypinski



# OpenGL

2001 © Piotr M. Szczypinski

- Konwencja nazw funkcji OpenGL API:

**glColor3fv(...)**

przedrostek biblioteki   rdzeń nazwy   liczba argumentów   typ argumentu

- Składniki OpenGL API - biblioteki:

Główna **Opengl32.dll**  
Narzędziowa **Glu32.dll**  
Pomocnicza **glaux.lib**

- Pliki nagłówkowe C:

**gl.h**  
**glu.h**  
**aux.h**

# Przykłady działania funkcji OpenGL

2001 © Piotr M. Szczypinski

Tools for teaching about OpenGL

Autor: Nate Robins

nate@pobox.com, <http://www.pobox.com/~nate>

<http://www.xmission.com/~nate/tutors.html>

Transformacje

Oświetlenie

Mgła

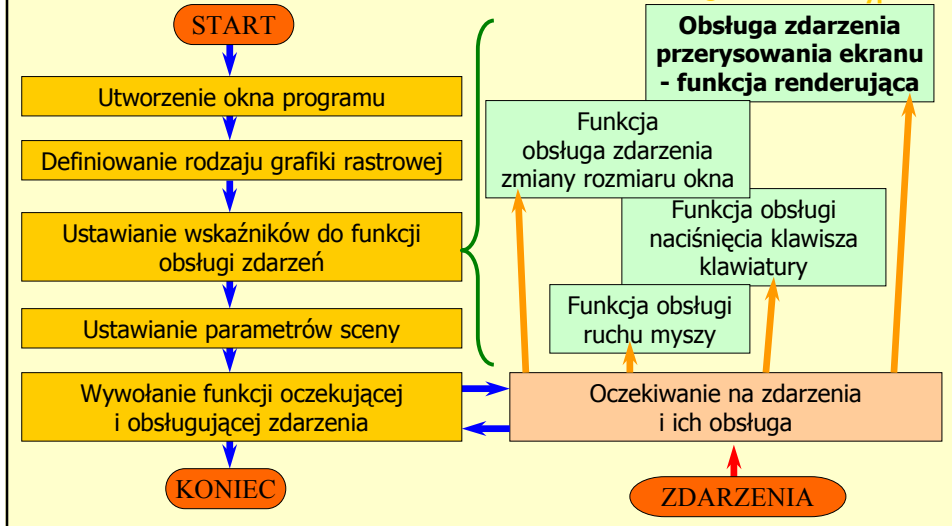
Projekcja

Współrzędne

Funkcje 2D

# Program OpenGL w Windows

2001 © Piotr M. Szczypinski



# Przykład programu OpenGL (1)

2001 © Piotr M. Szczypinski

```
/* **** */
/*
/* MODULE: Gk_gl.c
/*
/* FUNCTIONALITY:
/* Program przykładowy na zajęcia Grafika Komputerowa.
/* Programowanie OpenGL
/*
/* Copyright (C) 2001 by Piotr M. Szczypinski
/*
/* **** */

#include <windows.h> // Window defines
#include <gl/gl.h> // OpenGL
#include <gl/glu.h> // GLU library
#include <gl/GLAUX.h> // Biblioteka AUX
#include <math.h> // Funkcje matematyczne

// Kąt rzutowania obiektu
static GLfloat xRot = 0.0f;
static GLfloat yRot = 0.0f;
```

## Przykład programu OpenGL (2)

2001 © Piotr M. Szczypinski

```
// Glowna funkcja programu w Windows
int WINAPI WinMain(
    HINSTANCE hInstance,
    HINSTANCE hPrevInstance,
    LPSTR lpCmdLine,
    int nCmdShow
)
{
    // Tworzenie okna OpenGL
    auxInitDisplayMode(AUX_DOUBLE | AUX_RGBA);
    auxInitPosition(100,100,250,250);
    auxInitWindow("Okno OpenGL");

    // Wskazanie funkcji wywoływanej w momencie zmiany rozmiarów okna
    auxReshapeFunc(ZmianaRozmiaruOkna);

    // Wskazanie funkcji obsługi klawiszy
    auxKeyFunc(AUX_LEFT, StrzalkaLewo);
    auxKeyFunc(AUX_RIGHT, StrzalkaPrawo);
    auxKeyFunc(AUX_DOWN, StrzalkaDol);
    auxKeyFunc(AUX_UP, StrzalkaGora);

    // Wywołanie funkcji ustawiającej scene (tło, światła, rodzaje odbic)
    UstawScene();

    // Uruchomienie petli obsługi zdarzeń (komunikatów)
    auxMainLoop(RenderujScene);
}
```

## Przykład programu OpenGL (3)

2001 © Piotr M. Szczypinski

```
// Funkcja ustawiająca scene (tło, światła, rodzaje odbic)
void UstawScene()
{
    // Wartości i współrzędne źródeł światła
    GLfloat ambientLight[] = {0.4f, 0.4f, 0.4f, 1.0f };
    GLfloat diffuseLight[] = {0.7f, 0.7f, 0.7f, 1.0f };
    GLfloat specular[] = { 0.9f, 0.9f, 0.9f, 1.0f};
    GLfloat lightPos[] = { -500.0f, 2000.0f, 2000.0f, 1.0f };
    GLfloat specref[] = { 0.6f, 0.6f, 0.6f, 1.0f };

    glEnable(GL_DEPTH_TEST); // Włączenie metody bufora głebokosci
    glEnable(GL_CULL_FACE); // Włączenie metody eliminowania niewidocznych scianek
    glEnable(GL_LIGHTING); // Włączenie metody obliczania oświetlenia
    glEnable(GL_NORMALIZE); // Ustawienie automatycznego obliczania normalnych do powierzchni
    glEnable(GL_AUTO_NORMAL);

    // Przygotowanie i włączenie światła GL_LIGHT0
    glLightModelfv(GL_LIGHT_MODEL_AMBIENT,ambientLight);
    glLightfv(GL_LIGHT0,GL_AMBIENT,ambientLight);
    glLightfv(GL_LIGHT0,GL_DIFFUSE,diffuseLight);
    glLightfv(GL_LIGHT0,GL_SPECULAR,specular);
    glLightfv(GL_LIGHT0,GL_POSITION,lightPos);
    glEnable(GL_LIGHT0);

    // Ustawienie właściwości odbijania światła dla materialu
    glEnable(GL_COLOR_MATERIAL);
    glColorMaterial(GL_FRONT, GL_AMBIENT_AND_DIFFUSE);
    glMaterialfv(GL_FRONT, GL_SPECULAR,specref);
    glMateriali(GL_FRONT,GL_SHININESS,64);

    glClearColor(0.0f, 0.0f, 0.0f, 1.0f ); // Ustawienie koloru tła
}
```

## Przykład programu OpenGL (4)

2001 © Piotr M. Szczypinski

```
// Zmiana bryly widzenia i widoku.
// Wywoływane w momencie zmiany wymiaru okna
void CALLBACK ZmianaRozmiaruOkna(GLsizei w, GLsizei h)
{
    GLfloat nRange = 100.0f;

    // Zabezpieczenie przed dzieleniem przez 0
    if(h == 0) h = 1;

    // Ustawienie widoku na rozmiary okna
    glViewport(0, 0, w, h);

    // Wyzerowanie stosu macierzy rzutowania
    glMatrixMode(GL_PROJECTION);
    glLoadIdentity();

    // Ustanowienie bryly obcinania (lewa, prawa, dolna, górna, bliższa, dalsza)
    if (w <= h)
        glOrtho (-nRange, nRange, -nRange*h/w, nRange*h/w, -nRange*2.0f, nRange*2.0f);
    else
        glOrtho (-nRange*w/h, nRange*w/h, -nRange, nRange, -nRange*2.0f, nRange*2.0f);

    glMatrixMode(GL_MODELVIEW);
    glLoadIdentity();
}

// Funkcje wywoływane po naciśnięciu klawiszy
void CALLBACK StrzalkaLewo(void)
{
    yRot -= 5.0f;
    RenderujScene();
}
```

## Przykład programu OpenGL (5)

2001 © Piotr M. Szczypinski

```
// Funkcja renderowania - rysowania sceny
void CALLBACK RenderujScene(void)
{
    // Czyszczenie okna
    glClear(GL_COLOR_BUFFER_BIT | GL_DEPTH_BUFFER_BIT);

    // Zapisuje macierz transformacji
    glMatrixMode(GL_MODELVIEW);
    glPushMatrix();
    glRotatef(xRot, 1.0f, 0.0f, 0.0f);
    glRotatef(yRot, 0.0f, 1.0f, 0.0f);

    // Definiowanie kształtu obiektu
    // Obiekt składa się z trójkatnych ścianek ze zdefiniowanymi normalnymi
    glFrontFace(GL_CW);

    glBegin(GL_TRIANGLES);
    glColor3f(0.2f, 0.2f, 0.8f);
    glNormal3f(0.58f, 0.58f, 0.58f);
    glVertex3f(0.0f, 60.0f, 0.0f);
    glVertex3f(60.0f, 0.0f, 0.0f);
    glVertex3f(0.0f, 0.0f, 60.0f);
    glEnd();

    // Wykorzystanie zdefiniowanego obiektu czajniczka
    glColor3f(0.9f, 0.0f, 0.0f);
    auxSolidTeapot(50.0f);

    // Odczytuje macierz transformacji
    glPopMatrix();
    glFlush();

    // Zamiana buforów obrazu
    auxSwapBuffers();
}

// Bufor głębokości
// Czajnik
// Piramida
```

# Podsumowanie

## ■ Wiedza (wykład):

2001 © Piotr M. Szczypinski

- Modele koloru, ich pochodzenie i zastosowanie
- Obrazy rastrowe (metody uzyskiwania, formaty zapisu, wizualizacja, zastosowania)
- Obrazy wektorowe (metody uzyskiwania, formaty zapisu, wizualizacja, zastosowania)
- Metapliki (wykorzystanie metaplików w komputerowych systemach graficznych)
- Obrazy rastrowe w 3D (metody uzyskiwania, zastosowania)
- Modelowanie 3D (układy współrzędnych, transformacje przestrzeni, rzutowanie, zagadnienia związane z modelowaniem oświetlenia)

## ■ Umiejętności (laboratorium):

- Programowanie grafiki 2D z wykorzystaniem GUI Windows (grafika rastrowa i wektorowa)
- Programowanie procedur grafiki 3D
- Podstawy korzystania z interfejsów programowych grafiki 3D